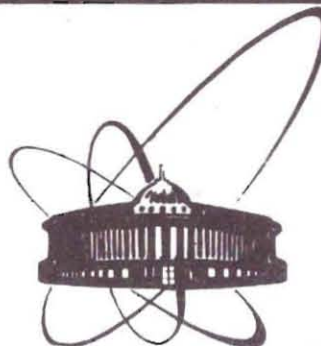


8 коп.



ОБЪЕДИНЕННЫЙ
ИНСТИТУТ
ЯДЕРНЫХ
ИССЛЕДОВАНИЙ
ДУБНА

1952/83

18/4-83

13-83-35

Б.Амов, А.Джаков, Б.П.Осипенко,
Е.Пенця, В.Г.Сандуковский

РАДИАЛЬНЫЙ КРЕМНИЕВЫЙ
ПОЗИЦИОННО-ЧУВСТВИТЕЛЬНЫЙ
ЛИНЕЙНЫЙ ДЕТЕКТОР
С ИМПЛАНТИРОВАННЫМ РЕЗИСТОРОМ

Редактор Т.Я.Жабицкая. Макет Н.А.Киселевой.
Набор В.С.Румянцевой, Н.И.Коротковой.

Подписано в печать 04.02.83.
Формат 60x90/16. Офсетная печать. Уч.-изд.листов 0,5.
Тираж 365. Заказ 32464.

Издательский отдел Объединенного института ядерных исследований.
Дубна Московской области.

Направлено в журнал
"Приборы и техника эксперимента"

1983

Определенный интерес для экспериментальной физики представляют однокоординатные полупроводниковые детекторы с радиальной позиционной чувствительностью. В работах /1,2/ сообщалось о таких приборах, основной недостаток которых - нелинейный радиальный отклик, если используется однородный резистивный слой. Получение линейного отклика детектора возможно, если использовать градиентный резистивный слой, при котором проводимость слоя будет пропорциональна радиусу ($\rho \propto r$). Для устранения радиальной нелинейности возможно изготовление детекторов дискретного типа, у которых съем сигнала производится с концентрических контактов, расположенных с определенным шагом, но такой путь технологически труден, он предъявляет высокие требования к внешней электронике.

В /3/ описан кремниевый позиционно-чувствительный детектор с линейным радиальным откликом. Резистивный слой детектора изготовлен методом низкотемпературной диффузии лития с градиентом температуры диффузии вдоль радиуса образца. Настоящая работа показывает возможность изготовления подобного детектора с имплантированным резистивным слоем.

ИЗГОТОВЛЕНИЕ ДЕТЕКТОРА. ИЗМЕРЕНИЕ ХАРАКТЕРИСТИК

Для того, чтобы иметь линейный отклик радиального детектора, необходимо, чтобы сопротивление резистивного слоя линейно менялось вдоль радиуса, то есть $dR = \text{const} \cdot dr$. Это означает, что в формуле $dR = \rho \frac{dr}{2\rho t w}$ - эффективная глубина имплантации /, описывающей изменения сопротивления слоя вдоль радиуса круглого образца, отношение

$$\rho / r = \text{const}.$$

/1/

Известно, что поверхностная проводимость ρ в случае имплантации обратно пропорциональна дозе D внедренных ионов, то есть

$$\rho = \text{const} / D.$$

/2/

Из /1/ и /2/ следует

$$D = \text{const} / r.$$

/3/

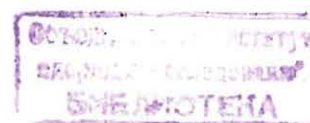
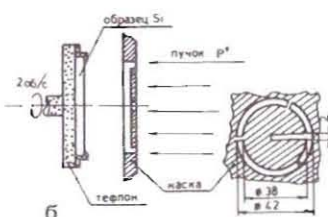




Рис.1. Структура /а/ радиального детектора и схема /б/ проведения имплантации.



Такое распределение дозы внедренных ионов можно получить, если проводить облучение вращающегося образца через маску, имеющую щель необходимой формы. Обозначим через a ширину щели на некотором радиусе r , тогда

$$\frac{D}{D_0} = \frac{a}{2\pi r}, \quad /4/$$

где D - доза в точке r вращающегося образца, D_0 - доза в случае неподвижного образца.

Из /3/ и /4/ следует условие $a = \text{const}$, то есть щель маски должна иметь постоянную ширину вдоль радиуса /в нашем случае - 2 мм/. На рис.1 показаны структура радиального детектора / $r_0 = 2$ мм; $r_1 = 19$ мм/ и схема имплантации ионов фосфора в образец.

Детекторы изготавливались из p -кремния с удельным сопротивлением ~ 6 кОм см. Размеры пластин: диаметр 44 мм, толщина 550 мкм. Образцы перед имплантацией обрабатывались по технологии изготовления поверхностно-барьерных детекторов. Внедрение ионов фосфора проводилось с помощью имплантатора ИЛУ-4 в ИЯИЯ БАН /София/. Доза D_0 составляла $4 \cdot 10^{14} \text{ см}^{-2}$, энергия внедряемых ионов - 18 кэВ. Доза на кольцевых контактах резистивного слоя /радиусы контактов r_0 и r_1 / увеличивалась до 10^{16} см^{-2} при энергии ионов 8 кэВ.

Отжиг образцов проводился в вакууме при температуре 380 °C в течение 15 минут. После отжига резистивный слой защищался кислотостойким материалом. Для создания $p-n$ перехода проводилось травление и формирование поверхности образца с последующим напылением на нее золота. В целях повышения надежности омических контактов резистивного слоя кольцевые контакты имели шлифованную поверхность, на которую наносилось золотое покрытие. Последней стадией изготовления была упаковка образцов. В итоге детекторы имели активную площадь 11,3 см². Сопротивление по постоянному току между кольцевыми контактами резистивного слоя составляло 16 кОм. Большинство образцов имели обратный ток 0,5±1,0 мкА при напряжении смещения 150 В.

Измерение линейности позиционного разрешения проводилось с помощью источника α -частиц ^{241}Am , попадающих на детектор через коллиматор, имеющий отверстия диаметром 1 мм, расположенные вдоль радиуса с шагом 2,5 мм.

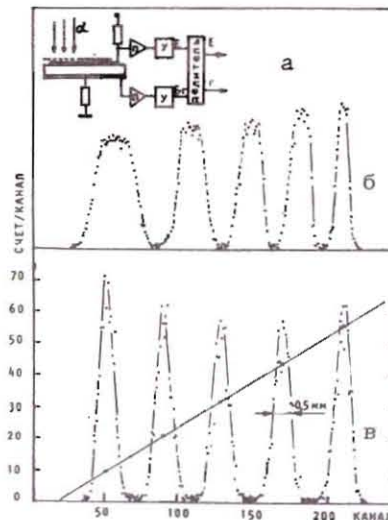


Рис.2. Измерение линейности и позиционного разрешения: а - схема измерения; б - спектр α -частиц ^{241}Am , полученный с помощью детектора, имеющего однородный резистивный слой; в - спектр α -частиц, полученный с помощью детектора, имеющего резистивный слой с градиентом проводимости вдоль радиуса.

Схема измерения показана на рис.2а. Из полученного спектра α -частиц /рис.2в/ видно, что детектор, изготовленный по вышеописанной технологии, дает линейный радиальный отклик /нелинейность позиционного сигнала $< 1\%$. На рис.2б для сравнения представлен спектр, полученный с помощью детектора, имеющего имплантированный однородный резистивный слой.

В заключение следует отметить, что описанный метод получения с помощью имплантации линейных радиальных детекторов исключает литий /имеющий аномально большой коэффициент диффузии/ из технологии изготовления подобных детекторов /3/. Исключение лития позволяет применять более высокотемпературную обработку кристаллов. Это открывает возможность проведения пассивации поверхности детекторов, т.е. изготовления позиционно-чувствительных радиальных детекторов с высокой надежностью и стабильностью параметров.

ЛИТЕРАТУРА

1. Owen R.B., Awcock M.L. IEEE Trans.on Nucl.Sci., 1968, NS-15, p.290.
2. Feuerstein A., Kalbitzer S. Nucl.Instr. and Meth., 1973, 109, p.601.
3. Бельцаж Е., Осипенко Б.П., Сандуковский В.Г. ОИЯИ, 13-82-91, Дубна, 1982.

Рукопись поступила в издательский отдел
25 января 1983 года.

НЕТ ЛИ ПРОБЕЛОВ В ВАШЕЙ БИБЛИОТЕКЕ?

Вы можете получить по почте перечисленные ниже книги,
если они не были заказаны ранее.

Д3-11787	Труды III Международной школы по нейтронной физике. Алушта, 1978.	3 р. 00 к.
Д13-11807	Труды III Международного совещания по пропорциональным и дрейфовым камерам. Дубна, 1978.	6 р. 00 к.
	Труды VI Всесоюзного совещания по ускорителям заряженных частиц. Дубна, 1978 /2 тома/	7 р. 40 к.
Д1,2-12036	Труды V Международного семинара по проблемам физики высоких энергий. Дубна, 1978	5 р. 00 к.
Д1,2-12450	Труды XII Международной школы молодых ученых по физике высоких энергий. Приморско, НРБ, 1978.	3 р. 00 к.
	Труды VII Всесоюзного совещания по ускорителям заряженных частиц, Дубна, 1980 /2 тома/	8 р. 00 к.
Д11-80-13	Труды рабочего совещания по системам и методам аналитических вычислений на ЭВМ и их применению в теоретической физике, Дубна, 1979	3 р. 50 к.
Д4-80-271	Труды Международной конференции по проблемам нескольких тел в ядерной физике. Дубна, 1979.	3 р. 00 к.
Д4-80-385	Труды Международной школы по структуре ядра. Алушта, 1980.	5 р. 00 к.
Д2-81-543	Труды VI Международного совещания по проблемам квантовой теории поля. Алушта, 1981	2 р. 50 к.
Д10,11-81-622	Труды Международного совещания по проблемам математического моделирования в ядерно-физических исследованиях. Дубна, 1980	2 р. 50 к.
Д1,2-81-728	Труды VI Международного семинара по проблемам физики высоких энергий. Дубна, 1981.	3 р. 60 к.
Д17-81-758	Труды II Международного симпозиума по избранным проблемам статистической механики. Дубна, 1981.	5 р. 40 к.
Д1,2-82-27	Труды Международного симпозиума по поляризационным явлениям в физике высоких энергий. Дубна, 1981.	3 р. 20 к.
Р18-82-117	Труды IV совещания по использованию новых ядерно-физических методов для решения научно-технических и народнохозяйственных задач. Дубна, 1981.	3 р. 80 к.
Д2-82-568	Труды совещания по исследованиям в области релятивистской ядерной физики. Дубна, 1982.	1 р. 75 к.
Д9-82-664	Труды совещания по коллективным методам ускорения. Дубна, 1982.	3 р. 30 к.
Д3,4-82-704	Труды IV Международной школы по нейтронной физике. Дубна, 1982.	5 р. 00 к.

Заказы на упомянутые книги могут быть направлены по адресу:
101000 Москва, Главпочтamt, п/я 79
Издательский отдел Объединенного института ядерных исследований

Амов Б. и др.

Радиальный кремниевый позиционно-чувствительный линейный детектор с имплантированным резистором

13-83-35

Описан кремниевый позиционно-чувствительный детектор с линейным радиальным откликом. Резистивный слой детектора изготовлен методом имплантации ионов фосфора с градиентом дозы внедренных ионов вдоль радиуса образца. Использовался n-кремний с удельным сопротивлением ~6 кОм.см. Радиус активной области детектора равен 19 мм. Нелинейность позиционного отклика $\leq 1\%$. Дано сравнение с позиционным детектором, имеющим имплантированный однородный резистивный слой.

Работа выполнена в Лаборатории ядерных проблем ОИЯИ.

Препринт Объединенного института ядерных исследований. Дубна 1983

Amov B. et al.

A Radial Silicon Position Sensitive Linear Detector
with Implanted Resistor

13-83-35

Silicon position sensitive detector with linear response is described. The resistive layer of the detector is obtained with the phosphor implantation. The dose of the implanted ions has a gradient along the sample radius. The n-type silicon with resistivity 6 kOhm is used. The radius of the active area of the detector is 19 mm. The nonlinearity of the detector position response is $\leq 1\%$. The mentioned above detector is compared to the detector with a homogeneous resistive layer.

The investigation has been performed at the Laboratory of Nuclear Problems, JINR.

Preprint of the Joint Institute for Nuclear Research. Dubna 1983

Перевод О.С.Виноградовой.